

## Curve sulle superfici

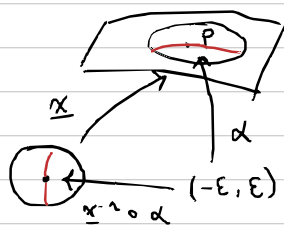
Vogliamo mostrare che  $T_p S$  è esattamente l'insieme delle velocità in  $p$  al variare delle curve  $\alpha: I \rightarrow S$  passanti per  $p$ .

Se  $\underline{x}$  è una par. reg. intorno a  $p \in S$ , preso  $\underline{v} = \lambda \underline{x}_u + \eta \underline{x}_v$ ,  
se ha  $\underline{v} = \underline{x}_{(\lambda, \eta)}$  Presa dunque  $\alpha$  che localmente su  $S$   
 $\underline{x}^{C^\infty}$  in  $p$  è  $\underline{x}(\underline{x}^{-1}(p) + t(\lambda, \eta))$ , la velocità in  $p$  di  $\alpha$   
è esattamente  $\underline{v}$ .

Dobbiamo mostrare ora che ogni velocità in  $p$  di una curva  $\alpha: I \rightarrow S$  (passante per  $p$ ) sta in  $T_p S$ . Wlog  $\alpha(0) = p$ .

A patto di scegliere  $\epsilon$  suff. piccolo,  $\beta = \alpha|_{(-\epsilon, \epsilon)}$  ha il supporto contenuto nell'immagine di una param. reg.  $\underline{x}$  intorno a  $p$ .

Si ha dunque  $\alpha(t) = \underline{x}(u(t), v(t))$  in  $(-\epsilon, \epsilon)$  con  $u(t), v(t) \in C^\infty$  ( $\underline{x}^{-1} \circ \alpha$  è  $C^\infty$ ). Allora:



$$\begin{aligned}\alpha'(t) &= [\underline{x}_u \quad \underline{x}_v] \begin{pmatrix} u' \\ v' \end{pmatrix} = \\ &= u'(t) \underline{x}_u(u(t), v(t)) + v'(t) \underline{x}_v(u(t), v(t)) \\ \Rightarrow \alpha'(0) &= u'(0) \underline{x}_u(p) + v'(0) \underline{x}_v(p) \Rightarrow\end{aligned}$$

$$\Rightarrow \alpha'(0) \in T_p S$$

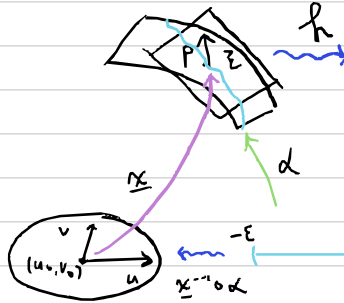
Mettendo tutto insieme si ottiene:

$$T_p S = \{ \alpha'(0) \mid \alpha: (-\epsilon, \epsilon) \rightarrow S \text{ t.c. } \alpha(0) = p, \alpha \text{ curva} \}$$

## Operatore forma

Vogliamo studiare in modo analitico le forme locali di  $S \subseteq \mathbb{R}^3$ .

Def.  $f: S \rightarrow \mathbb{R}^3$  si dice  $C^\infty$  se  $\forall \underline{x}$  param reg. locale  
 $f \circ \underline{x}$  è  $C^\infty$ .



Vogliamo definire la derivata in direzione  $\xi \in T_p S$  di  $f: S \rightarrow \mathbb{R}^3$ . L'idea è che vogliamo "spostarsi di poco" in direzione  $\xi$  da  $p$ .

Preso  $d: (-\epsilon, \epsilon) \rightarrow S$  con  $d(0) = p$  e  $d'(0) = \xi$ , "d si muove localmente in direzione  $\xi$ " intorno a 0 e quindi  $f \circ d$  localmente catturerà  $f$  "muovendosi in direzione  $\xi$  da  $p$ " intorno a 0. E' naturale dunque definire  $D_\xi f(p)$  come:

$$D_\xi f(p) \triangleq (f \circ d)'(0) \in \mathbb{R}^3.$$

Dimostriamo che  $D_\xi f(p)$  dipende solo da  $f$  e  $\xi$ . Sia  $\underline{x}: U \rightarrow S$  parametr. regol. intorno a  $p$ . Sia  $\underline{x}^{-1} \circ d = (\underline{u}(t), \underline{v}(t))$ . Allora:

$$\begin{aligned}
 (*) \quad (f \circ d)'(0) &= [(f \circ \underline{x}) \circ (\underline{u}(t), \underline{v}(t))]'(0) = \\
 &= \underline{u}'(0) \cdot (f \circ \underline{x})_u(p) + \underline{v}'(0) \cdot (f \circ \underline{x})_v(p).
 \end{aligned}$$

word. in U =  $\xi$   
 di  $\xi$  fissato

$$\left( \begin{array}{c} \underline{u}'(0) \\ \underline{v}'(0) \end{array} \right) = \sum_{e \in \{x,y,z\}} \underline{x}_e^{-1}(p) \cdot (d'(0))_e$$

Da (\*) si deduce subito che  $(f \circ \underline{x})'(0)$  non dip. dalla scelta della curva; inoltre, il membro a destra è invariante alla scelta di  $\underline{x}$ , dipendendo da  $d$ . Quindi  $D_\xi f(p)$  è ben definita ed è anche lineare nella scelta della direzione (sempre grazie a (\*)).

$$\rightsquigarrow \text{in generale, } D_{\xi} f(p) = D_{x^{-1}(p)}(f \circ x)(x^{-1}(p)).$$

Ricordiamo che ogni superficie è localmente orientabile, dato che ogni param. reg. induce superfici orientabili.

Sia  $\alpha : (-\varepsilon, \varepsilon) \rightarrow S$  con  $\alpha(0) = p$  e  $\alpha'(0) = \xi$ . Se  $m : A \rightarrow \mathbb{R}^3$  è una normale continua  $d : S$  intorno a  $p$ , allora:

che esiste sempre,

essendo  $S$  loc. orient.

$$m(\alpha(t)) \cdot m(\alpha(t)) = 1 \implies$$

$$\implies 2((m \circ \alpha)'(t) \cdot m(\alpha(t))) = 0 \implies$$

$$\implies D_{\xi} m(p) \cdot m(p) = 0 \implies$$

$$\implies D_{\xi} m(p) \in ((T_p S)^{\perp})^{\perp} = T_p S.$$

Quindi:  $\xi \mapsto D_{\xi} m(p)$  è un endomorfismo di  $T_p S$ .

**Def.** Si chiama **OPERATORE FORMA** l'endomorfismo  $S_p : T_p S \rightarrow T_p S$  t.c.  $S_p(\xi) \triangleq -D_{\xi} m(p)$  con  $m$  normale fissata continua intorno a  $p$ . (Al più varia di un segno cambiando normale)

**Esempio.** (sfera)

Consideriamo la sfera  $\Sigma_r = \{x^2 + y^2 + z^2 = r^2\}$ . Una normale è data da  $\nabla_p f = \underline{l}(x, y, z) \rightsquigarrow m(p) = p / \|p\| = p / r$ .

Sia  $\alpha : (-\varepsilon, \varepsilon) \rightarrow \Sigma_r$  con  $\alpha(0) = p$  e  $\alpha'(0) = \xi$ , allora:

$$S_p(\xi) = -D_{\xi} m(p) = -(\underline{m} \circ \alpha)'(0) = -\frac{1}{r} \alpha'(0) = -\frac{1}{r} \xi.$$

$(\underline{m} \circ \alpha)'(t) =$   
 $= \alpha'(t) / \|\alpha(t)\| =$   
 $= \alpha'(t) / r$

Quindi:  $S_p = -\frac{1}{r} \text{id.}$

**Prop.**  $\text{Sp}$  è autoaggiunto ( $\text{Sp}(\xi) \cdot p = \xi \cdot \text{Sp}(p) \quad \forall \xi, p \in T_p S$ )

Sia  $x$  par. reg. di  $S$  int. a  $p$ . Mostriamo la tesi per la base  $\{\underline{x}_u(p), \underline{x}_v(p)\}$ , da cui ne deriviamo poi la validità per TUTTO  $T_p S$ .

$$\begin{cases} \underline{m}(\underline{x}(u, v_0)) \cdot \underline{x}_v(u, v_0) = 0 & \frac{d}{du}|_{u=u_0} \\ \underline{m}(\underline{x}(v, u_0)) \cdot \underline{x}_u(u_0, v) = 0 & \frac{d}{dv}|_{v=v_0} \end{cases} \Rightarrow \begin{cases} D_u \underline{m}(p) \cdot \underline{x}_v(p) + \underline{m}(p) \cdot \underline{x}_{vu}(p) = 0 & (\star) \\ D_v \underline{m}(p) \cdot \underline{x}_u(p) + \underline{m}(p) \cdot \underline{x}_{uv}(p) = 0 & \end{cases}$$

Dal Teo. di Schwarz,  $\underline{x}_{uv}(p) = \underline{x}_{vu}(p)$ , quindi, da  $(\star)$ :

$$-D_u \underline{m}(p) \cdot \underline{x}_v(p) = -D_v \underline{m}(p) \cdot \underline{x}_u(p) \Rightarrow$$

$$\Rightarrow \text{Sp}(\underline{x}_u(p)) \cdot \underline{x}_v(p) = \underline{x}_u(p) \cdot \text{Sp}(\underline{x}_v(p)). \quad \square$$

→ applicando un ragionam. analogo a quello usato per ricavare  $(\star)$  si ottiene infine il seguente sistema d. identità:

$$\begin{cases} \text{Sp} \underline{x}_u(p) \cdot \underline{x}_u(p) = \underline{m}(p) \cdot \underline{x}_{uu}(p) \\ \text{Sp} \underline{x}_v(p) \cdot \underline{x}_v(p) = \underline{m}(p) \cdot \underline{x}_{vv}(p) \\ \text{Sp} \underline{x}_u(p) \cdot \underline{x}_v(p) = \underline{m}(p) \cdot \underline{x}_{uv}(p) \end{cases} \quad (\square)$$

Definiamo adesso alcuni oggetti che ci permetteranno di calcolare ugualmente  $\text{Sp}$ .

**Def.** Sia  $S \subseteq \mathbb{R}^3$  superficie. La famiglia dei prodotti scalari sui vari  $T_p S$   $\{I_p : T_p S \times T_p S \rightarrow \mathbb{R} \mid I_p(v, w) = v \cdot w\}$  e' detta **I° FORMA FONDAMENTALE**.

→ ricordiamo che, grazie alla regolarità delle param reg., data  $x$  par. reg. intorno a  $p \in S$ ,  $\underline{x}_u(p)$  e  $\underline{x}_v(p)$  formano una base di  $T_p S$ . In Tale base  $I_p$  assumerà una forma matriciale:

$$I_p = \underline{x}_u \begin{pmatrix} \underline{x}_u & \underline{x}_v \\ E & F \\ \underline{x}_v & G \end{pmatrix},$$

dove  $E = \underline{x}_u(p) \cdot \underline{x}_u(p) = \|\underline{x}_u(p)\|^2$ ,  $F = \underline{x}_u(p) \cdot \underline{x}_v(p)$  e  
 $G = \underline{x}_v(p) \cdot \underline{x}_v(p) = \|\underline{x}_v(p)\|^2$ .

→ anche  $S_p$  avrà una forma matriciale:

$$S_p = \begin{matrix} \underline{x}_u & \left( \begin{matrix} a & c \\ b & d \end{matrix} \right) \\ \underline{x}_v & \end{matrix}$$

$\begin{bmatrix} S_p \underline{x}_u \\ S_p \underline{x}_v \end{bmatrix}$

**Def.** Sia  $S \subseteq \mathbb{R}^3$  superficie. La famiglia dei prodotti scalari:  
 $\{\mathbb{I}_p : T_p S \times T_p S \rightarrow \mathbb{R} \mid \mathbb{I}_p(v, w) = I_p(S_p v, w) = S_p v \cdot w\}$  è  
 detta **II<sup>a</sup> FORMA FONDAMENTALE**.

→ pure  $\mathbb{I}_p$  avrà una forma matriciale:

$$\mathbb{I}_p = \begin{matrix} \underline{x}_u & \begin{matrix} \underline{x}_u & \underline{x}_v \\ l & m \\ m & m \end{matrix} \\ \underline{x}_v & \end{matrix},$$

$\boxed{\mathbb{I}_p \text{ è un prod. scal.}} \\ \text{daccché } S_p \text{ è autoaggiunto}$

dove  $l = S_p \underline{x}_u(p) \cdot \underline{x}_u(p)$ ,  $m = S_p \underline{x}_u(p) \cdot \underline{x}_v(p)$  e  
 $m = S_p \underline{x}_v(p) \cdot \underline{x}_v(p)$ . Da (□) quindi ricaviamo che:

$$\begin{cases} l = \underline{m}(p) \cdot \underline{x}_{uu}(p) \\ m = \underline{m}(p) \cdot \underline{x}_{uv}(p) \\ m = \underline{m}(p) \cdot \underline{x}_{vv}(p) \end{cases}$$

Osserviamo che  $\mathbb{I}_p(v, w) = I_p(S_p v, w) \Rightarrow$   
 $\Rightarrow [v]^T \mathbb{I}_p [w] = [v]^T I_p S [w]$ .

Quindi:

$$\boxed{\mathbb{I}_p = I_p \cdot S}$$

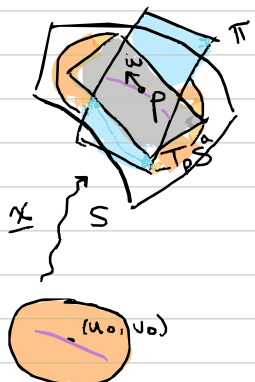
Inoltre  $\det(I_p) = \|\underline{x}_u(p)\|^2 \|\underline{x}_v(p)\|^2 - (\underline{x}_u(p) \cdot \underline{x}_v(p))^2 \neq 0$  per Cauchy-Schw.,  
 daccché  $\underline{x}_u$  e  $\underline{x}_v$  sono lin. indip. Dunque  $I_p$  è invertibile e...

$$S = \mathbb{I}_p \cdot I_p^{-1}$$

In particolare  $\det(S) = (lm - m^2) / (EG - F^2)$ .

## Interpretazione geometrica dell'operatore forma

Cerchiamo innanzitutto quando un piano  $\pi$  passante per  $p \in S$  intersecato a  $S$  dà luogo, almeno localmente, a una curva regolare.



Sia dunque  $\pi \subseteq \mathbb{R}^3$  un piano affine di eq.  $(a, b, c) \cdot x = d$  passante per  $p \in S$ . Sia  $\underline{x}: U \rightarrow S$  una par. reg. intorno a  $p \in S$ .

Sia  $f(u, v) = (a, b, c) \cdot \underline{x}(u, v)$ . Allora  $\underline{x}^{-1}(\pi \cap S) = \{ \underbrace{f(u, v) = d}_{C^\infty} \}$ .

Osserviamo che:

$$\begin{cases} f_u(u_0, v_0) = (a, b, c) \cdot \underline{x}_u(u_0, v_0) \\ f_v(u_0, v_0) = (a, b, c) \cdot \underline{x}_v(u_0, v_0) \end{cases}$$

Quindi se  $(f_u, f_v)(u_0, v_0) \neq 0$  ( $\Leftrightarrow (a, b, c) \notin \text{span}(\underline{m}(p)) \Leftrightarrow \pi \neq T_p S^a \stackrel{\Delta}{=} p + T_p S$ ),  $\underline{x}^{-1}(\pi \cap S)$  è un grafico (per il Teo. della funz. implicita)

attorno a  $(u_0, v_0)$ , ossia — ponendo wlog  $f_v(u_0, v_0) \neq 0$  —  $\underline{x}^{-1}(\pi \cap S)$  è localm. param. intorno a  $(u_0, v_0)$  come  $(u, g(u))$  con  $g \in C^\infty$ . Quindi  $\pi \cap S$  è loc. par. come  $\alpha(t) = \underline{x}(t, g(t))$ . ( $\alpha|_{U_0} = \rho$ )

$\rightarrow \alpha'(t) = \underline{x}_u(t, g(t)) + g'(t) \underline{x}_v(t, g(t)) \neq 0$ , dunque  $\alpha$  è regolare!

$\downarrow$  lin. ind.  $\downarrow$

Possiamo riassumere la discussione in:

A patto che  $\pi \neq T_p S^a$  ( $\stackrel{\Delta}{=} p + T_p S$ ),  $\pi \cap S$  è parametrizzata come curva regolare intorno a  $p$ .

Supponiamo wlog  $\alpha$  p.l.a. Sia  $\alpha'(S_0) = w$  (unitario, essendo  $\alpha$  p.l.a.)

$$\underline{m}(\alpha(S)) \cdot \alpha'(S) = 0 \quad \xrightarrow{\frac{d}{ds}|_{S=S_0}} \quad S_p w \cdot w = \underline{m}(p) \cdot \underline{\alpha''(S_0)}$$

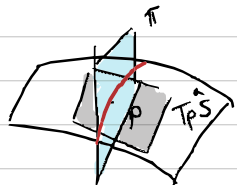
La quantità a destra allora non dipende da  $\alpha$ , ma solo da  $w$ , ed è detta  $K_m(p, w)$ , la CURVATURA NORMALE IN  $p$  NELLA DIREZIONE  $w$ .

Dacché dipende solo da  $w$ , possiamo scegliere  $\pi$  in modo che  $\underline{m}(p) \parallel T'(S_0)$ , scegliendo proprio  $(a, b, c) \in T_p S$   $\in w^\perp$  (così  $\text{gjac}_{\underline{w}}(\pi) = T_p S^\perp \ni \underline{m}(p)$ ).

In tal caso, allora:

$$K_m(p, w) = \underline{m}(p) \cdot T'(S_0) = \underbrace{\|\underline{m}(p)\|}_{=1} \underbrace{\|T'(S_0)\|}_{=\kappa_\alpha(p)} = \kappa_\alpha(p).$$

In altre parole:



La curvatura normale  $K_m(p, w)$  è esattamente la curvatura in  $p$  di una curva regolare  $\alpha$  che parametrizza intorno a  $p$  la sezione ottenuta intersecando  $S$  a un piano  $\pi$  perpendicolare a  $T_p S^\perp$  (cioè normale).

Osserviamo che, se  $S_p v = \lambda v$  con  $\|v\| = 1$ , allora:

$$K_m(p, v) = S_p v \cdot v = \lambda.$$

Quindi: gli autovectori di  $S_p$  sono curvature normali speciali.

**Def.** Gli autospazi di  $S_p$  sono detti DIREZIONI PRINCIPALI e i loro autovectori sono detti CURVATURE PRINCIPALI.

→ grazie all'osservazione fatta prima, si deduce immediatamente che le curvature principali sono delle curvature normali.

**Prop.** Siamo  $v_1, v_2$  base ortonormale di  $S_p$ -autovettori.

Se  $w \in T_p S$  è unitario, e  $w$  forma un angolo di  $\theta$  gradi rispetto a  $v_1$ , allora:

$$k_m(p, w) = \cos^2 \theta \cdot k_1 + \sin^2 \theta \cdot k_2, \quad \text{FORMULA DI EULERLO}$$

dove  $S_p v_1 = k_1 v_1$ ,  $S_p v_2 = k_2 v_2$ . curvature principali

Infatti  $w = \cos(\theta) \cdot v_1 + \sin(\theta) \cdot v_2 \implies$

$$\begin{aligned} \implies k_m(p, w) &= S_p w \cdot w = \\ &= (\cos(\theta) \cdot k_1 \cdot v_1 + \sin(\theta) \cdot k_2 \cdot v_2) \cdot \\ &\quad \cdot (\cos(\theta) \cdot v_1 + \sin(\theta) \cdot v_2) = \\ &\stackrel{v_1 \perp v_2}{=} \cos^2(\theta) k_1 + \sin^2(\theta) k_2. \quad \square \end{aligned}$$

→ in particolare, dunque  $\cos^2(\theta) + \sin^2(\theta) = 1$  e  $\sin^2(\theta)$  è continua con  $\sin^2(0) = 0$  e  $\sin^2(\pi/2) = 1$ , si ha che  $k_m(p, w)$  varia in  $[k_{\min}, k_{\max}]$  con  $k_{\min} \triangleq \min\{k_1, k_2\}$  e  $k_{\max} \triangleq \max\{k_1, k_2\}$ .

Dunque le curvature principali ci danno la possibilità di calcolare la minima e la massima curvatura normale. Con queste possiamo studiare localmente la forma della superficie in  $p$ .

**Def.** Sia  $S \subseteq \mathbb{R}^3$ . La CURVATURA GAUSSIANA in  $p \in S$  è definita come:

$$K(p) \triangleq \det(S_p) = k_1 \cdot k_2$$

curvature principali

La CURVATURA MEDIA in  $p \in S$  invece è definita come:

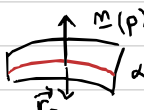
$$H(p) \triangleq \frac{1}{2} \operatorname{Tr}(S_p) = \frac{k_1 + k_2}{2}.$$

Se  $K \equiv 0$  in  $S$ ,  $S$  si dice PIATTA. Se  $H \equiv 0$  in  $S$ ,  $S$  si dice MINIMA.

→ la curvatura gaussiana rimane invariata anche prendendo  $m' = -m$ , mentre quella media cambia di segno.

→ il segno di  $K_m(w, p)$  è dato nel seguente modo:

 •  $K_m(w, p) > 0$ : se il raggio di curvatura di  $\alpha$  che parametrizza  $\Pi_N$  in  $p$  è parallelo positivamente a  $m(p)$

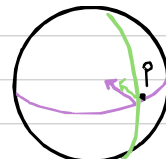
 •  $K_m(w, p) < 0$ : " è parallelo negativamente a  $m(p)$

 •  $K_m(w, p) = 0$ : " è nulla.

**Def.** (classificazione dei p.t. sulla superficie)  
Sia  $S \subseteq \mathbb{R}^3$  superficie,  $p \in S$ .

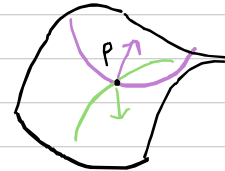
(i)  $p$  si dice **ELLITICO** se  $K(p) > 0$ .

$\Updownarrow$   
tutte le curvature  $\Leftrightarrow K_1, K_2$  concordi  
normali sono concave e  $\neq 0$   
 $e \neq 0$



(ii)  $p$  si dice **IPERBOLICO** se  $K(p) < 0$

$\Updownarrow$   
 $K_1, K_2$  discordi.  
 $e \neq 0$



(iii)  $p$  si dice **PARABOLICO** se  $K(p) = 0$  e

$K_1 = 0$  o  $K_2 \neq 0 \Leftrightarrow S_p \neq 0$

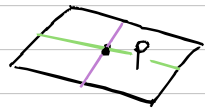
o viceversa  $\Leftrightarrow$

Tutte le curvature normali sono  $\geq 0$  o  $\leq 0$  e  $\exists$  curv. normale nulla



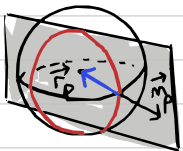
(iv)  $p$  si dice **PLANARE** se  $S_p = 0 \Leftrightarrow$  ogni curv.

normale è nulla.



Esempio (sfera) Abbiamo già calcolato esplicitamente che per la sfera  $\Sigma \cong S^2$  vale  $S_p = -\frac{1}{\alpha} id_{T_p S}$ .

Usiamo l'intuizione geometrica per giustificare il risultato.



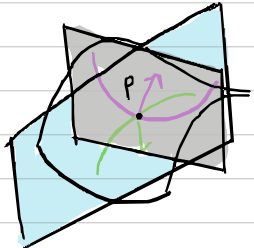
Ogni piano normale rispetto a  $p \in \Sigma$  induce una curva regolare che è la raggia di curvatura a in p.

Dacché la normale è negativamente parallela al raggio vettore  $\vec{r}_p$ , si ha  $K_m(p, v) = -\frac{1}{\alpha}$   
 $K_1 = K_2 = -\frac{1}{\alpha} \Rightarrow S_p = -\frac{1}{\alpha} id_{T_p S}$

A.V. Dumque

In particolare  $\det(S_p) = \frac{1}{\alpha^2} > 0$ , quindi ogni p.t.o è ellittico.

**Esempio** (paraboloide iperbolico) Sia  $S$  l'immagine di  $\underline{x}: \mathbb{R}^2 \rightarrow \mathbb{R}^3$  t.c.  $\underline{x}(u, v) = (u, v, u^2 - v^2)$ . Calcoliamo  $\text{Sp}\text{in } p \triangleq \underline{x}(0, 0)$ .



Allora:

$$\left\{ \begin{array}{l} E = \| \underline{x}_U(p) \|^2 = \| (1, 0, 0) \|^2 = 1 \\ F = \underline{x}_U(p) \cdot \underline{x}_V(p) = (1, 0, 0) \cdot (0, 1, 0) = 0 \\ G = \| \underline{x}_V(p) \|^2 = \| (0, 1, 0) \|^2 = 1 \end{array} \right. \Rightarrow I_p = \text{id}$$

Una normale per  $p$  è  $\underline{m} = \hat{\underline{x}_u(p)} \times \hat{\underline{x}_v(p)} = (0, 0, 1)$ .  
Quindi ...

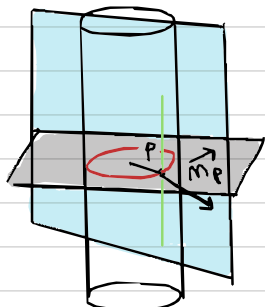
$$\left\{ \begin{array}{l} l = m \cdot x_{uu}(p) = (0, 0, 1) \cdot (0, 0, 2) = 2 \\ m = m \cdot x_{uv}(p) = (0, 0, 1) \cdot (0, 0, 0) = 0 \Rightarrow I_p = 2 \begin{pmatrix} 1 & -1 \\ -1 & 1 \end{pmatrix} \\ n = m \cdot x_{vv}(p) = (0, 0, 1) \cdot (0, 0, -2) = -2 \end{array} \right.$$

Allora:

$$S_p = I_p^{-1} I_p = I_p \Rightarrow \begin{matrix} x_u & \text{direzione princ. con } k_1 = 2 \\ x_u & \| & \| & k_2 = -2 \end{matrix}$$

$$K(p) = K_1 \cdot K_2 = -4 < 0 \implies p \text{ è iperbolico.}$$

## Esempio. (cilindro)



Consideriamo il cilindro  $\Sigma = \{x^2 + y^2 = a^2\}$ . Allora  $\forall a \neq 0$ ,  $a$  è regolare per  $f(x, y, z) = x^2 + y^2$   
quindi  $\Sigma$  è superficie con  $\underline{m}(x, y, z) =$   
 $= \nabla_p f = \frac{1}{a} (x, y, 0)$ .

$$\text{Dunque } (\underline{m} \circ \alpha)(x) = \frac{1}{a} \pi_{xy}(\alpha(x)) \rightarrow J_p \pi_{xy} =$$

$$\Rightarrow S_p v = - Dv \underline{m}(p) = - (\underline{m} \circ \alpha_v)'(0) = = \begin{pmatrix} 1 & 0 & 0 \\ 0 & 1 & 0 \\ 0 & 0 & 0 \end{pmatrix}$$

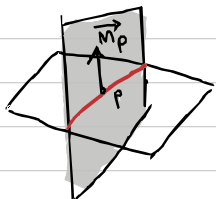
$$= - \frac{1}{a} (\pi_{xy} \circ \alpha_v)'(0) = - \frac{1}{a} \begin{pmatrix} 1 & 1 & 0 \end{pmatrix} v.$$

Osserviamo che  $e_3$  appartiene a ogni  $T_p S$  olacché  $e_3 \cdot \nabla_p f = 0$ ,  
dunque  $S_p e_3 = 0 \Rightarrow e_3$  dir. princ. con curv. 0  $\forall p$ .

Se  $p = (x_0, y_0, z_0)$ , allora  $\underline{m}_p = \frac{1}{a} (y_0, -x_0, 0) \in T_p S$  ( $\underline{m}_p \cdot \nabla_p f = 0$ )  
 $\rightarrow S_p \underline{m}_p = - \frac{1}{a} \underline{m}_p \Rightarrow \underline{m}_p$  dir. princ. con curv.  $-\frac{1}{a}$  in  $p$ .

Dunque  $K(p) = 0$ , ma  $S_p \neq 0 \Rightarrow p$  parabolico  $\forall p \in S$ .

Esempio (piano) Sia  $\pi = \{\underline{m} \cdot x = d\}$  con  $\underline{m} \neq 0$  e  $\|\underline{m}\| = 1$ . Allora  
è sempre regolare per  $[x \mapsto \underline{m} \cdot x]$  e una normale  
di  $\pi$  è proprio  $\underline{m}$  vettore, in ogni punto.



Quindi  $S_p w = (\underline{m} \circ \alpha)'(0) = 0 \quad \forall$  q.s. curva d  
compatibile scelta. Dunque ogni p.t.

di un piano è planare.

\* L'esercizio si può svolgere anche parametrizzando  $\Sigma$   
come  $\underline{x}(u, v) = (a \cos(u), a \sin(u), v)$ . [affissato]

**Esercizio (elioide)** Consideriamo  $\underline{x}(u,v) = (u \cos(v), u \sin(v), bv)$  con  $b > 0$  fissato.

Allora:

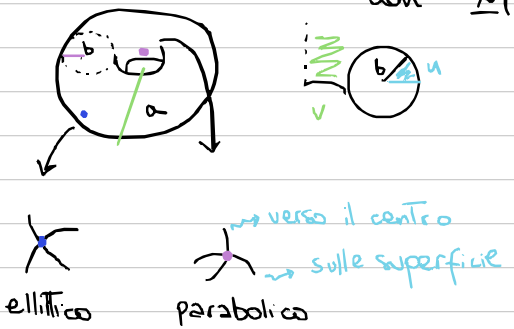
$$\begin{cases} \underline{x}_u = (\cos(v), \sin(v), 0) \\ \underline{x}_v = (-u \sin(v), u \cos(v), b) \end{cases} \Rightarrow I = \begin{pmatrix} 1 & 0 \\ 0 & \sqrt{u^2+b^2} \end{pmatrix}$$

$$\begin{cases} \vec{n} = \underline{x}_u \times \underline{x}_v = \frac{1}{\sqrt{u^2+b^2}} (b \sin(v), -b \cos(v), u) \\ \underline{x}_{uv} = (-\sin(v), \cos(v), 0) \end{cases} \Rightarrow$$

$$\Rightarrow \begin{cases} l = \vec{n} \cdot \underline{x}_{uu} = 0 \\ m = \vec{n} \cdot \underline{x}_{uv} = -b / \sqrt{u^2+b^2} \\ n = \vec{n} \cdot \underline{x}_{vv} = 0 \end{cases} \Rightarrow II = -\frac{b}{\sqrt{u^2+b^2}} \begin{pmatrix} 0 & 1 \\ 1 & 0 \end{pmatrix}$$

Dunque  $Sp = I^{-1} II \rightarrow k(p) = \sqrt{u^2+b^2} \cdot \frac{-b}{\sqrt{u^2+b^2}} = -b < 0$ ,  
quindi ogni punto è iperbolico.

**Esercizio (Toro)** Consideriamo il Toro  $T(a,b)$ , che parametrizziamo con  $\underline{x}(u,v) = ((a+b \cos(u)) \cos(v), (a+b \cos(u)) \sin(v), b \sin(u))$



Allora:

$$\begin{cases} \underline{x}_u = (-b \sin(u) \cos(v), -b \sin(u) \sin(v), b \cos(u)) \\ \underline{x}_v = (- (a+b \cos(u)) \sin(v), (a+b \cos(u)) \cos(v), 0) \end{cases}$$

da cui:

$$I = \begin{pmatrix} b^2 & 0 \\ 0 & (a+b \cos(u))^2 \end{pmatrix}$$

$$\vec{n} = \underline{x}_u \times \underline{x}_v = -(\cos(u) \cos(v), \cos(u) \sin(v), \sin(u))$$

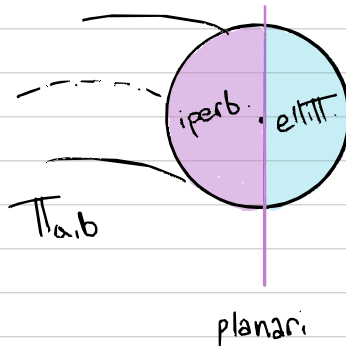
Da cui:

$$\boxed{\mathbb{II} = \begin{pmatrix} b & 0 \\ 0 & (a+b\cos(u))\cos(u) \end{pmatrix}}$$

Quindi:

$$K(p) = \det(S_p) = \det(I^{-1}\mathbb{II}) =$$
$$= \frac{\cos(u)}{b(a+b\cos(u))},$$

il  $\omega_i$  segue dip. solo da  $\cos(u)$ ! Dunque:



Esercizio. Dimostrare che  $\Sigma \subseteq \mathbb{R}^3$  superficie compatta ( $\neq \emptyset$ ) ha un p.t. ellittico.

→ l'idea è che un p.t. di norma massima di  $\Sigma$  sia ellittico daccché "i p.t. intorno possono solo curvare indietro".

Sia  $f: \Sigma \rightarrow \mathbb{R}$  t.c.  $f(p) = \|p\|^2$  e sia

$p_0$  un suo massimo.

$$[w \equiv \alpha'(0)]$$

Sia  $\alpha$  una curva p.l.a. su  $\Sigma$  passante per  $p_0$  in  $0$ .  $f(\alpha(T))$  per costruzione ha massimo in  $0 \implies (\dot{f} \circ \alpha)(0) = 0$ ,  $(\ddot{f} \circ \alpha)(0) \leq 0$ .

$$\bullet (\dot{f} \circ \alpha)'(0) = \nabla f(\alpha(0)) \cdot \alpha'(0) = 2 \underbrace{\alpha'(0)}_w \cdot \alpha(0) = 0 \Rightarrow$$

$\xrightarrow[w \text{ arbitr.}]{} p_0 \perp T_{p_0} S \rightsquigarrow p_0 = \|p_0\| \underline{m}(p_0).$

$$\begin{aligned}
 \bullet (\varphi \circ \alpha)''(0) &= 2 \left. \frac{d}{dt} \right|_{t=0} [\alpha'(t) \cdot \alpha'(t)] = \\
 &= 2 \left. \frac{d}{dt} \right|_{t=0} [\alpha''(t) \cdot \alpha(t) + \|\alpha'(t)\|^2] = \\
 &= 2 (\alpha''(0) \cdot \alpha(0) + \underbrace{\|\alpha'(0)\|^2}_{=1}) = \\
 &= 2 \left( \|\rho_0\| T_\alpha(0) \cdot \underbrace{\underline{m}(\rho_0)}_{M_m(\rho_0, \alpha'(0))} + 1 \right) \leq 0 \quad \text{è un massimo}
 \end{aligned}$$

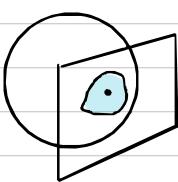
Dunque:

$$M_m(\rho_0, \alpha'(0)) \leq - \frac{1}{\|\rho_0\|} < 0 \quad \forall w, \|w\|=1,$$

in particolare  $\underbrace{M_1 \cdot M_2 > 0}_{\kappa(\Sigma)}$ ; i.e.,  $\rho_0$  è ellittico.  $\square$

**Esercizio** Sia  $\Sigma \subseteq \mathbb{R}^3$  superficie. Si mostri che:

(i) se  $p \in \Sigma$  è ellittico,  $\exists$  intorno di  $p$  in  $\Sigma$  contenuto dalla stessa parte di  $T_p \Sigma^a$ ; ovvero a tutto uno dei due semispazi indotti dal Taglio di  $\mathbb{R}^3$  tramite  $T_p \Sigma^a$ .



(ii) se  $p \in \Sigma$  è iperbolico,  $\nexists$  ".

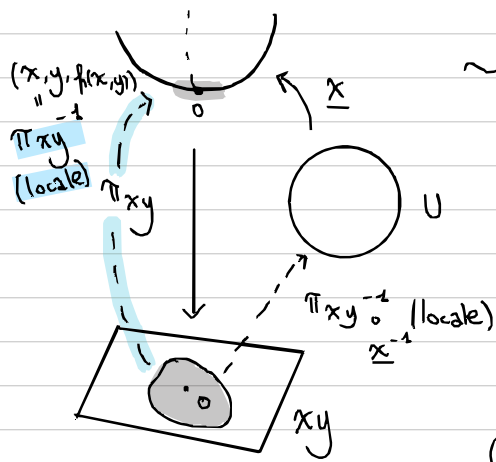


(iii) se  $p \in \Sigma$  è parabolico o planare, potrebbe esistere o meno (si mostri esempi in cui esiste ed altri in cui non esiste).

→ osserviamo innanzitutto che le rototraslazioni non modificano le curvature normali, che sono curvature di curve; in particolare rimangono invariate le curvature principali (a meno di segno).

Possiamo dunque assumere wlog  $p=0 \in \Sigma$  con  $T_p\Sigma = \text{Span}(e_1, e_2)$  (i.e., piano  $x-y$ ) e dir. principali proprio  $e_1$  e  $e_2$ .

Sia  $\underline{x}: U \rightarrow \Sigma(u)$  una par. reg. intorno a  $p=0$ . Allora  $\langle \underline{x}_u, \underline{x}_v \rangle = T_0 \Sigma \rightsquigarrow$  l'ultima riga di  $J\underline{x}$  è zero → precomp.  $\underline{x}$  con  $T_{xy}$  sì ha  $J(\pi_{xy} \circ \underline{x})$  invertibile, da cui  $\pi_{xy} \circ \underline{x}$  difeo. localmente. Dunque  $\xrightarrow{\text{regolarità}} \underline{x}$  regolare.  $\pi_{xy}^{-1}$  è loc. inn. come difeo.



→ un intorno di  $0 \in \Sigma$  è grafico di  $f: V \rightarrow \Sigma$  (i.e., è della forma  $\{(u, v, f(u, v))\}$  intorno di  $C^\infty$   $f(0, 0) = 0$ )

Per (i) la Tesi consiste nel mostrare che localm.  $f(u, v) \geq 0$  vicino a zero. ( $u \leq 0$ )

Consideriamo allora proprio la par. reg.  $y: (u, v) \mapsto (u, v, f(u, v))$ .

$$\text{Taylor} \left[ f(u, v) = f(0, 0) + u f_u(0) + v f_v(0) + \frac{1}{2} (u^2 f_{uu}(0) + 2uv f_{uv}(0) + v^2 f_{vv}(0)) + o(u^2 + v^2) \right]$$

$$\begin{cases} y_u = (1, 0, f_u) \\ y_v = (0, 1, f_v) \end{cases} \xrightarrow{\text{T}_0 \Sigma \text{ è sul piano } xy} f_u(0) = f_v(0) = 0 \quad \checkmark$$

$$\Rightarrow y_u = e_1, y_v = e_2$$

Quindi  $E(0) = G(0) = 1$  e  $F(0) = y_u \cdot y_v = 0 \rightsquigarrow I = \begin{pmatrix} 1 & 0 \\ 0 & 1 \end{pmatrix}$

Una normale è  $\underline{m}(0) = (0, 0, -1)$ .

$$\begin{cases} l(0) = y_{uu}(0) \cdot \underline{m}(0) = f_{uu}(0) \\ m(0) = y_{uv}(0) \cdot \underline{m}(0) = f_{uv}(0), \text{ quindi } \underline{\underline{I}} = \begin{pmatrix} f_{uu}(0) & f_{uv}(0) \\ f_{uv}(0) & f_{vv}(0) \end{pmatrix} \\ n(0) = y_{vv}(0) \cdot \underline{m}(0) = f_{vv}(0) \end{cases}$$

→ osserviamo che  $S_0 = \underline{\underline{I}}^{-1} \underline{\underline{II}} = \underline{\underline{II}}$ .

Ricordiamo che  $e_1$  ed  $e_2$  sono x ipotesi dir. principali, dunque

$$f_{uu}(0) = k_1, \quad f_{vv}(0) = k_2, \quad (S_0 = \begin{pmatrix} k_1 & 0 \\ 0 & k_2 \end{pmatrix})$$

$$f_{uv}(0) = 0.$$

Pertanto  $f(u,v) = \frac{1}{2} (k_1 u^2 + k_2 v^2) + o(u^2+v^2)$ .

(i) se  $O$  è ellittico, allora wlog  $k_2 \leq k_1 < 0$  o  $0 < k_1 \leq k_2$

$$(**) \frac{f(u,v)}{u^2+v^2} \leq \frac{k_2}{2} + \frac{o(u^2+v^2)}{u^2+v^2} \xrightarrow{(u,v) \rightarrow (0,0)} \frac{k_2}{2},$$

quindi loc.  $f(u,v) \leq 0$  per perim. del segno

(\*\*\*) analog. loc.  $f(u,v) \geq 0$  "

(ii) se  $O$  è iperbolico, allora wlog  $k_1 < 0 < k_2$ .

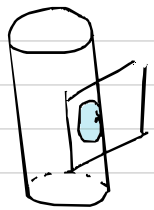
$$\cdot \frac{f(u,0)}{u^2} = \frac{k_1}{2} + \frac{o(u^2)}{u^2} \xrightarrow{u \rightarrow 0} \frac{k_1}{2} < 0, \text{ quindi lungo}$$

$v=0$  è loc.  $\leq 0$

$$\cdot \frac{f(0,v)}{v^2} = \frac{k_2}{2} + \frac{o(v^2)}{v^2} \xrightarrow{v \rightarrow 0} \frac{k_2}{2} > 0, \text{ e } u=0 \text{ è loc. } \geq 0.$$

Dunque un intorno come desiderato non può esistere.

### (iii) Parabolici



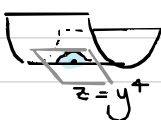
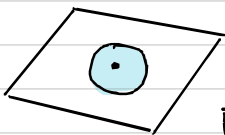
l'intorno esiste ✓



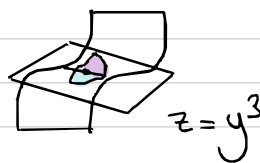
l'intorno non  
esiste ✓

$$z = x^2 + y^3$$

### Planari



l'intorno esiste ✓



l'intorno non  
esiste ✓

$$z = y^3$$